

Простая связь генетического кода
с гексаграммами Книги Перемен (И-Цзин)

Автор
Сергей Федотов

Академия Пульса
Санкт-Петербургское отделение
Санкт-Петербург, Россия
23 января 2016 года

Содержание

№№	Заголовки	Страница
1.	Введение	3
2.	Таблица двенадцатиминутных периодов активности меридианов	3
3.	Правила управления активностью триплетов ДНК при помощи акупунктурных меридианов	6
4.	Связь триплетов ДНК с гексаграммами порядка Фу-Си китайской философии	8
5.	Смысл гексаграммного порядка Вэнь-Вана из Книги Перемен (И-Цзин)	14
6.	Примечательные свойства Инь и Ян систем порядка Вэнь-Вана	17
7.	Физический процесс порядка Вэнь-Вана	18
8.	Дополнительное подтверждение верности суточной циркуляции на Рис. 2 в разрезе триплетов ДНК	19
9.	Литература	22

1. Введение

В статье «Генетический код как структура стихий (элементов) китайской философии» (http://pulse-academy.org/files/DNA_RU.PDF) была представлена схема связей триплетов ДНК с собственными частотами двенадцати главных акупунктурных меридианов:

Старшее основание	С Перикард	А Толстый кишечник	Г Желчный пузырь	У Почки
Среднее основание	С Печень	**А Сердце	Г Тонкий кишечник	У Желудок
Младшее основание	С Мочевой пузырь	А Панкреас	Г Легкие	У Три Обогревателя

Рис. 1

Таким образом, старшие основания в триплете обладают самыми низкими собственными частотами в сравнении со средними и младшими. Средние основания имеют среднее положение собственных частот между старшими и младшими основаниями.

Именно такое частотное распределение является причиной вырожденности генетического кода, в котором определяющими являются старшее и среднее основание, где более низкие вибрации определяют основной профиль собственных частот молекулярной конструкции всего триплета.

А, кроме того, распределение собственных частот оснований легко объясняет неканонические значения триплетов тем, что при трансляции собственная частота целевой аминокислоты отличается от частот программирующего триплета незначительно (например, многие виды зелёных водорослей *Acetabularia* транслируют стандартные стоп-триплеты UAG и UAA в аминокислоту глицин - GGx, а гриб *Candida* интерпретирует РНК-триплет CUG не как лейцин, а как серин - UCx).

2. Таблица двенадцатиминутных периодов активности меридианов

В соответствии с Рис. 1 (результат исследования в статье «Генетический код как структура стихий (элементов) китайской философии») каждому двенадцатиминутному отрезку соответствует одновременная активность трех акупунктурных меридианов:

С Т И Х И Я	П О Ч К И	18-19	C-PC C-LR C-BL	Пролин (Pro)	С О И Т Л Ш И С Е Х Т. Ч.	06-07	G-GB G-SI G-LU	Глицин (Gly)		
			C-PC C-LR A-SP	Пролин (Pro)			G-GB G-SI U-TE	Глицин (Gly)		
			C-PC C-LR U-TE	Пролин (Pro)			G-GB G-SI A-SP	Глицин (Gly)		
			C-PC C-LR C-BL	Пролин (Pro)			G-GB G-SI G-LU	Глицин (Gly)		
	Д Е Р Е В А	С Е Р Д Ц Е	19-20	C-PC A-HT A-SP	Глутамин (Gln)	М Е Л У Д О Л А	07-08	G-GB U-ST U-TE	Валин (Val)	
				C-PC A-HT G-LU	Глутамин (Gln)			G-GB U-ST C-BL	Валин (Val)	
				C-PC A-HT U-TE	Гистидин (His)			G-GB U-ST A-SP	Валин (Val)	
				C-PC A-HT C-BL	Гистидин (His)			G-GB U-ST G-LU	Валин (Val)	
		20-21	C-PC A-HT A-SP	Глутамин (Gln)	G-GB U-ST U-TE		Валин (Val)			
			C-PC G-SI G-LU	Аргинин (Arg)	G-GB C-LR C-BL		Аланин (Ala)			
			C-PC A-HT A-SP	Глутамин (Gln)	G-GB U-ST U-TE		Валин (Val)			
			C-PC G-SI G-LU	Аргинин (Arg)	G-GB C-LR C-BL		Аланин (Ala)			
ТРИ		21-22	C-PC G-SI A-SP	Аргинин (Arg)	П А Н К Р Е А		09-10	G-GB C-LR A-SP	Аланин (Ala)	
			C-PC G-SI G-LU	Аргинин (Arg)				G-GB C-LR C-BL	Аланин (Ala)	
			C-PC U-ST U-TE	Лейцин (Le)				G-GB A-HT A-SP	Глутаминовая кислота (Glu)	
			C-PC U-ST C-BL	Лейцин (Le)				G-GB A-HT G-LU	Глутаминовая кислота (Glu)	
О Б О Г Р Е В.	22-23	C-PC U-ST A-SP	Лейцин (Le)	10-11	G-GB A-HT C-BL	Аспарагиновая кислота (Asp)				
		C-PC U-ST G-LU	Лейцин (Le)		G-GB A-HT A-SP	Аспарагиновая кислота (Asp)				
		C-PC U-ST U-TE	Лейцин (Le)		G-GB A-HT G-LU	Глутаминовая кислота (Glu)				
		C-PC C-LR C-BL	Пролин (Pro)		G-GB G-SI G-LU	Глицин (Gly)				
С Т И Х И Я	Ж П Е У Л З Ч Ы Н Р Ы Й	23-00	A-LI A-HT A-SP	Лизин (Lys)	С Т И Х И Я	11-12	U-KI U-ST U-TE	Фенилаланин (Phe)		
			A-LI A-HT G-LU	Лизин (Lys)			U-KI U-ST C-BL	Фенилаланин (Phe)		
			A-LI A-HT U-TE	Аспарагин (Asn)			U-KI U-ST A-SP	Лейцин (Leu)		
			A-LI A-HT C-BL	Аспарагин (Asn)			U-KI U-ST G-LU	Лейцин (Leu)		
	00-01	A-LI A-HT A-SP	Лизин (Lys)	U-KI U-ST U-TE		Фенилаланин (Phe)				
		A-LI G-SI G-LU	Аргинин (Arg)	U-KI C-LR C-BL		Серин (Ser)				
		A-LI G-SI U-TE	Серин (Ser)	U-KI C-LR A-SP		Серин (Ser)				
		A-LI G-SI C-BL	Серин (Ser)	U-KI C-LR G-LU		Серин (Ser)				
	О Г Н Я	П Е Ч Е Н Ь	01-02	A-LI G-SI A-SP		Аргинин (Arg)	В О Н Ш Д К Е И Ч Й Н К	13-14	U-KI C-LR U-TE	Серин (Ser)
				A-LI G-SI G-LU		Аргинин (Arg)			U-KI C-LR C-BL	Серин (Ser)
				A-LI U-ST U-TE		Изолейцин (Ile)			U-KI A-HT A-SP	Стоп (Stop)
				A-LI U-ST C-BL		Изолейцин (Ile)			U-KI A-HT G-LU	Стоп (Stop)
Л Е Г К И Е	02-03	A-LI U-ST A-SP	Изолейцин (Ile)	М П О У Ч З Е Ы О Ь	14-15	U-KI A-HT U-TE	Тирозин (Uyr)			
		A-LI U-ST G-LU	Метионин (Met) Start			U-KI A-HT C-BL	Тирозин (Uyr)			
		A-LI U-ST U-TE	Изолейцин (Ile)			U-KI A-HT A-SP	Стоп (Stop)			
		A-LI C-LR C-BL	Пролин (Pro)			U-KI G-SI G-LU	Глицин (Gly)			
С З Т Е И М Х Л И И Я	Т К О И Л Ш С Е Т. Ч.	03-04	A-LI U-ST U-TE	Фенилаланин (Phe)	15-16	U-KI A-HT A-SP	Стоп (Stop)			
			A-LI C-LR C-BL	Треонин (Uhr)		U-KI G-SI G-LU	Триптофан (Urp)			
			A-LI C-LR G-LU	Треонин (Uhr)		U-KI G-SI U-TE	Цистеин (Cys)			
			A-LI C-LR U-TE	Треонин (Uhr)		U-KI G-SI C-BL	Цистеин (Cys)			
С З Т Е И М Х Л И И Я	04-05	A-LI C-LR C-BL	Треонин (Uhr)	16-17	U-KI G-SI G-LU	Триптофан (Urp)				
		A-LI A-HT A-SP	Лизин (Lys)		U-KI U-ST U-TE	Фенилаланин (Phe)				
		G-GB G-SI G-LU	Глицин (Gly)		C-PC C-LR C-BL	Пролин (Pro)				
		G-GB G-SI U-TE	Глицин (Gly)		C-PC C-LR A-SP	Пролин (Pro)				
С З Т Е И М Х Л И И Я	05-06	G-GB G-SI C-BL	Глицин (Gly)	17-18	C-PC C-LR G-LU	Пролин (Pro)				
		G-GB G-SI A-SP	Глицин (Gly)		C-PC C-LR U-TE	Пролин (Pro)				
		G-GB G-SI G-LU	Глицин (Gly)		C-PC C-LR C-BL	Пролин (Pro)				
		A-LI A-HT A-SP	Лизин (Lys)		U-KI U-ST U-TE	Фенилаланин (Phe)				
С З Т Е И М Х Л И И Я	05-06	A-LI A-HT G-LU	Лизин (Lys)	17-18	U-KI U-ST C-BL	Фенилаланин (Phe)				
		A-LI A-HT U-TE	Аспарагин (Asn)		U-KI U-ST A-SP	Фенилаланин (Phe)				
		A-LI A-HT C-BL	Аспарагин (Asn)		U-KI U-ST G-LU	Фенилаланин (Phe)				
		A-LI A-HT A-SP	Лизин (Lys)		U-KI U-ST U-TE	Фенилаланин (Phe)				

Рис. 2

Где на Рис. 2 обозначения меридианов следующие:

Стихия Дерева:

- Инь Дерева – Печень – LR;
- Ян Дерева – Желчный пузырь – GB;

Стихия Огня:

- Инь Огня – Сердце – HT;
- Ян Огня – Тонкий кишечник – SI;

Стихия Земли:

- Инь Земли – Селезенка – SP;
- Ян Земли – Желудок – ST;

Стихия Металла:

- Инь Металла – Легкие – LU;
- Ян Металла – Толстый кишечник – LI;

Стихия Воды;

- Инь Воды – Почки – KI;
- Ян Воды – Мочевой пузырь BL;

Стихия Огня-Министра:

- Инь Огня-Министра – Перикард – PC;
- Ян Огня-Министра – Тройной обогреватель (Кровь) – TE

Одновременное участие собственных частот трех меридианов в колебательном процессе триплета обусловлено трехмерностью нашего пространства. Мгновенный вектор силы, циклически растягивающий и сжимающий пространство расположения триплета имеет разложение на три взаимно-ортогональных вектора и обуславливает динамическую стереометрию молекулярной конструкции. Описанием таких молекулярных конструкций ДНК в настоящее время разрабатывает В.А. Карасев (1) в его теории «Молекулярной векторной машины».

В свете вышесказанного, становится понятна зависимость геометрии ДНК от внешних ведущих колебаний. Мы, буквально, в том виде, в котором существуем, являемся порождением Космоса. Регулярная смена частотного фона среды обитания вследствие Доплеровского эффекта («Космический механизм жизни»: <http://pulse-academy.org/files/LifeMechanicsRU.pdf>), обуславливает пространственное строение всех сложных молекулярных конструкций.

Соответственно, цельность и взаимосвязанность всех частей организма обеспечивается заданной циклической последовательностью спектров вибраций окружающей среды. Как только вибрации организма выходят из резонанса с колебаниями внешней среды, возникают силы, растягивающие или сжимающие молекулярные конструкции, что на физическом уровне вызывает разрывы тканей и повреждения клеточных структур организма.

С этой точки зрения болезни и старость являются лишь результатом рассогласования ритмов организма с ритмами окружающей среды, когда теряется энергия собственных колебаний. А без собственной энергии колебаний жизнь невозможна, поскольку исчезает возможность клеточных структур поддерживать нормальную смену фаз анаболизма и катаболизма, коллективное существование которых, в свою очередь, являются в своей сути процессом жизни.

Таким образом, самой правильной задачей исцеления больного является восстановление нормального баланса ритмов всего спектра колебательных процессов организма.

Результатом программы пульсовой диагностики (пульсовой метаболический анализ (ПМА)) как раз и является профиль баланса биоритмов, где каждый ритм связан с одним из 12 акупунктурных меридианов. Каждый меридиан является манифестацией энергии мгновенного вектора, который принимает участие в формировании тензора организма как точки пространства (6 векторов, сходящихся к центру организма и 6 векторов оказывающих встречную реакцию на внешнее сжатие).

3. Правила управления активностью триплетов ДНК при помощи акупунктурных меридианов

На основе данных пульсового анализа и с учетом применения соответствий из Рис. 1 и Рис. 2 настоящей статьи, мы имеем возможность превентивной коррекции колебательных процессов в целях уравнивания энергии всех 12 векторов (меридианов). Очевидно, что если коррекция проведена, не будет, пострадают те системы организма, которые связаны с частотами, энергия которых будет меньше всех остальных. Просто соответствующие триплеты ДНК не получают в пространстве количественного представительства, в результате чего синтез определенных белков будет не возможен, так же как и сам процесс жизни.

Покажем на примере, как пользоваться таблицей на Рис. 2. Предположим, анализ ПМА показал дефицит энергии меридиана Сердца (HT). Собственные частоты Сердца связаны со средним азотистым основанием триплетов ДНК, если таковое основание будет Аденозином. Обратившись к таблице на Рис. 2 мы обнаружим, что частоты меридиана Сердца (HT) принимают участие в следующие периоды:

- 19-21 часов, время активности Глутамина (CAx);
- 23-01 часов, время активности Лизина и Аспарагина (AAx);
- 03-04 часов, время активности Лизина (AAA; AAG);
- 05-06 часов, время активности Лизина и Аспарагина (AAx);
- 09-11 часов, время активности Глутаминовой и Аспарагиновой кислот (GAx);
- 13-15 часов, время активности Тирозина и стоп-триплетов UAA и UAG.

Соответственно, все системы организма, связанные с функционированием вышеупомянутых аминокислот будут нарушены, в том числе и функционирование Стоп-триплетов, которые предположительно имеют отношение к неконтролируемому размножению раковых клеток в случае нарушения их работы (видимо поэтому, рак сердца достаточно редкое заболевание в силу того, что гибель от сердечной недостаточности происходит быстрее по причине нарушения циркуляции кислорода и питательных веществ, чем от нарушения порядка репликации ДНК в кардиомиоцитах).

В данной ситуации коррекция дефицита частоты меридиана Сердца (HT) должна осуществляться восполнением дефицита Глутамина, Лизина, Аспарагина, Глутаминовой и Аспарагиновой кислоты, Тирозина (материальный носители собственных частот меридиана Сердца (HT)) и при помощи акупунктуры методом тонизации точки PC-9 в любое время, когда активен Аденозин (A) в середине любого триплета (полевая эфирная структура колебательного процесса, сопровождаемая электромагнитными явлениями). Кроме воздействия на акупунктурную точку PC-9 в нашем случае, мы можем использовать возможность подавления вибраций Урацила в середине триплетов (U – собственные частоты меридиана Желудка в приведенном случае) в системах, которые сдвинуты в суточной циркуляции на 180 градусов относительно Аденозина (A) меридиана Сердца (HT), т.е. использовать акупунктурное правило день-полночь.

Для подавления активности частот меридиана Желудка (ST) в соответствии с постулатами Китайской Традиционной Медицины используют точку ST-45

Академия Пульса

Комсомольская 25Б, офф. 24, Владивосток, 690002, Россия

www.pulse-academy.org; e-mail: pulseacademy@yahoo.com; Phone +7-911-956-2653

Охраняется авторским правом.

Если бы мы имели избыток энергии колебаний меридиана Сердца, то мы должны были бы использовать точку РС-7 (седатирование меридиана Сердца (НТ) в периоды активности соответствующего Аденозина в середине триплетов) и точку ST-41 (тонизация меридиана Желудка (ST) в периоды активности соответствующего Урацила также в середине триплета).

4. Связь триплетов ДНК с гексаграммами порядка Фу-Си Китайской философии

Связь триплетов ДНК с гексаграммами китайской философии пытались установить множество людей, начиная с того момента, когда был переоткрыт генетический код. К этому подталкивает общность комбинаторики четырех азотистых оснований и двух типов черт в гексаграммах – число комбинаций элементов в триплетах и гексаграммах одинаково и равно 64.

На наш взгляд, ни один из авторов пока не достиг верной модели сочетания триплетов с гексаграммами (нет практического результата применения). Причиной тому является игнорирование физических свойств процесса – доплеровского эффекта, единственным параметром которого является изменение плотности эфирной среды во времени и, соответственно, частоты собственных колебаний объектов, погруженных в среду. Чем выше плотность среды – тем выше частота собственных колебаний. Такой эффект хорошо знаком водолазам, когда вследствие увеличения давления повышается тон голоса до таких пределов, что требуется специальная аппаратура для преобразования октав речи с высоких частот до нормальных уровней восприятия человеческим ухом.

Таким образом, любая числовая система должна иметь конкретный физический смысл, т.е. математический аппарат должен применяться как цифровая модель физического процесса, а не наоборот, когда на свойства некой математической конструкции пытаются натянуть описание физического процесса, даже не имея понятия о том, что такой процесс из себя представляет в сущности.

Примером такой безуспешности является абстрактное математическое описание набора гексаграмм Фу-Си, созданная Петуховым С.В. (2) :

	111	110	101	100	011	010	001	000
<u>111</u>	CCC 111111 63	CCA 111110 62	CAC 111101 61	CAA 111100 60	ACC 111011 59	ACA 111010 58	AAC 111001 57	AAA 111000 56
<u>110</u>	CCU 110111 55	CCG 110110 54	CAU 110101 53	CAG 110100 52	ACU 110011 51	ACG 110010 50	AAU 110001 49	AAG 110000 48
<u>101</u>	CUC 101111 47	CUA 101110 46	CGC 101101 45	CGA 101100 44	AUC 101011 43	AUA 101010 42	AGC 101001 41	AGA 101000 40
<u>100</u>	CUU 100111 39	CUG 100110 38	CGU 100101 37	CGG 100100 36	AUU 100011 35	AUG 100010 34	AGU 100001 33	AGG 100000 32
<u>011</u>	UCC 011111 31	UCA 011110 30	UAC 011101 29	UAA 011100 28	GCC 011011 27	GCA 011010 26	GAC 011001 25	GAA 011000 24
<u>010</u>	UCU 010111 23	UCG 010110 22	UAU 010101 21	UAG 010100 20	GCU 010011 19	GCG 010010 18	GAU 010001 17	GAG 010000 16
<u>001</u>	UUC 001111 15	UUA 001110 14	UGC 001101 13	UGA 001100 12	GUC 001011 11	GUA 001010 10	GGC 001001 9	GGA 001000 8
<u>000</u>	UUU 000111 7	UUG 000110 6	UGU 000101 5	UGG 000100 4	GUU 000011 3	GUG 000010 2	GGU 000001 1	GGG 000000 0

Рис. 3

Где бинарные значения имеют следующие соответствия по системе гексаграмм Фу-Си:

ВЕРХ→ НИЗ↓	111  ЦЯНЬ	110  ДУЙ	101  ЛИ	100  ЧЖЭНЬ	011  СЮНЬ	010  КАНЬ	001  ГЭНЬ	000  КУНЬ
111  ЦЯНЬ	111111  63	111110  62	111101  61	111100  60	111011  59	111010  58	111001  57	111000  56
110  ДУЙ	110111  55	110110  54	110101  53	110100  52	110011  51	110010  50	110001  49	110000  48
101  ЛИ	101111  47	101110  46	101101  45	101100  44	101011  43	101010  42	101001  41	101000  40
100  ЧЖЭНЬ	100111  39	100110  38	100101  37	100100  36	100011  35	100010  34	100001  33	100000  32
011  СЮНЬ	011111  31	011110  30	011101  29	011100  28	011011  27	011010  26	011001  25	011000  24
010  КАНЬ	010111  23	010110  22	010101  21	010100  20	010011  19	010010  18	010001  17	010000  16
001  ГЭНЬ	001111  15	001110  14	001101  13	001100  12	001011  11	001010  10	001001  9	001000  8
000  КУНЬ	000111  7	000110  6	000101  5	000100  4	000011  3	000010  2	000001  1	000000  0

Рис. 4

Очевидно, автор схемы соответствий на Рис. 3 стал, по всей видимости, заложником формальной логики свойств бинарного числового ряда. В силу своих научных интересов в области симметрий Автор подогнал схему гексаграмм порядка Фу-Си под красивую симметричную схему соответствий триплетам.

Однако мы придерживаемся другого взгляда и рассматриваем и бинарную систему гексаграмм, и тетрадную систему азотистых оснований просто системами счисления некоторого физического параметра. В нашем случае мы оцениваем частоты собственных колебаний, которые прямо пропорциональны давлению эфира в рассматриваемой точке пространства.

Таким образом, каждая позиция в триплете имеет разряд (старший средний младший) и каждый разряд может принимать одно из четырех значений, которые формируют следующую иерархию с точки зрения номинала собственной частота в порядке ее увеличения: С, А, G, U, т.е. Цитозин (С) имеет самую низкую собственную частоту в разряде, Урацил (U) – самую высокую, а Аденин (А) и Гуанин (G) находятся в промежуточном положении. Если представить значение каждого азотистого основания в бинарном виде, мы получим следующую схему соответствий диграмм (младший разряд диграммы вверху):



Рис. 5

На Рис. 5 также показан механизм формирования гексаграмм бинарной системы счисления из записи тетрадной системы счисления триплетов. Как и положено, в традиционной китайской философии, гексаграммы читаются снизу вверх, от старших (низкочастотным разрядов) к младшим (высокочастотным).

Таким образом, нам становится легко и просто установить соответствие триграмм порядка Фу-Си с каждым триплетом ДНК. На физическом уровне последовательность триграмм Фу-Си является простой схемой отображения монотонного повышения давления (частоты) в пространстве от самой низкой частоты (гексаграмма Цянь – Небо  - белый цвет, наименьшая плотность среды) до самой высокой частоты (гексаграмма Кунь-Земля  - черный цвет, максимальная плотность среды, черная дыра):

Верх → Низ ↓	☰	☱	☲	☴	☵	☶	☷	☸
☰	CCC ☰ 1	CCA ☱ 43	CCG ☲ 14	CCU ☴ 34	CAC ☵ 9	CAA ☶ 5	CAG ☷ 26	CAU ☸ 11
☱	CGC ☰ 10	CGA ☱ 58	CGG ☲ 38	CGU ☴ 54	CUC ☵ 61	CUA ☶ 60	CUG ☷ 41	CUU ☸ 19
☲	ACC ☰ 13	ACA ☱ 49	ACG ☲ 30	ACU ☴ 55	AAC ☵ 37	AAA ☶ 63	AAG ☷ 22	AAU ☸ 36
☴	AGC ☰ 25	AGA ☱ 17	AGG ☲ 21	AGU ☴ 51	AUC ☵ 42	AUA ☶ 3	AUG ☷ 27	AUU ☸ 24
☵	GCC ☰ 44	GCA ☱ 28	GCG ☲ 50	GCU ☴ 32	GAC ☵ 57	GAA ☶ 48	GAG ☷ 18	GAU ☸ 46
☶	GGC ☰ 6	GGA ☱ 47	GGG ☲ 64	GGU ☴ 40	GUC ☵ 59	GUA ☶ 29	GUG ☷ 4	GUU ☸ 7
☷	UCC ☰ 33	UCA ☱ 31	UCG ☲ 56	UCU ☴ 62	UAC ☵ 53	UAA ☶ 39	UAG ☷ 52	UAU ☸ 15
☸	UGC ☰ 12	UGA ☱ 45	UGG ☲ 35	UGU ☴ 16	UUC ☵ 20	UUA ☶ 8	UUG ☷ 23	UUU ☸ 2

Рис. 6

Естественно, свойства аминокислот триплетов будут зависеть от положения на шкале давления на Рис. 6.

Высокое давление эфира способствует вытеснению электронов из среды и проявлению кислотных свойств материальных частиц. Активизируются процессы окисления с выделением энергии тепла (сжимаемые тела нагреваются). Это преобладание фазы катаболических процессов.

Низкое давление обеспечивает приток электронов в среду, активируются восстановительные процессы с поглощением энергии тепла (расширяющиеся тела охлаждаются). Это фаза преобладания анаболических процессов.

Посмотрим на диспозицию кислых и щелочных аминокислот в таблице Фу-Си:

Академия Пульса

Комсомольская 25Б, офф. 24, Владивосток, 690002, Россия

www.pulse-academy.org; e-mail: pulseacademy@yahoo.com; Phone +7-911-956-2653

Охраняется авторским правом.

Верх → Низ ↓	☰	☱	☲	☴	☵	☶	☷	☸
☰	CCC ☰ 1	CCA ☱ 43	CCG ☲ 14	CCU ☴ 34	CAC ☵ 9	CAA ☶ 5	CAG ☷ 26	CAU ☸ 11
☱	CGC ☱ 10	CGA ☲ 58	CGG ☴ 38	CGU ☵ 54	CUC ☶ 61	CUA ☷ 60	CUG ☸ 41	CUU ☰ 19
☲	ACC ☲ 13	ACA ☴ 49	ACG ☵ 30	ACU ☶ 55	AAC ☷ 37	AAA ☸ 63	AAG ☰ 22	AAU ☱ 36
☴	AGC ☴ 25	AGA ☵ 17	AGG ☶ 21	AGU ☷ 51	AUC ☸ 42	AUA ☰ 3	AUG ☱ 27	AUU ☲ 24
☵	GCC ☵ 44	GCA ☶ 28	GCG ☷ 50	GCU ☸ 32	GAC ☰ 57	GAA ☱ 48	GAG ☲ 18	GAU ☴ 46
☶	GGC ☶ 6	GGA ☷ 47	GGG ☸ 64	GGU ☰ 40	GUC ☱ 59	GUA ☲ 29	GUG ☴ 4	GUU ☵ 7
☷	UCC ☷ 33	UCA ☸ 31	UCG ☰ 56	UCU ☱ 62	UAC ☲ 53	UAA ☴ 39	UAG ☵ 52	UAU ☶ 15
☸	UGC ☸ 12	UGA ☰ 45	UGG ☱ 35	UGU ☲ 16	UUC ☴ 20	UUA ☵ 8	UUG ☶ 23	UUU ☷ 2

Рис. 7

Как видим, теоретическое предположение о месте кислотных (отмечены красным цветом) и основных (отмечены синим цветом) триплетов блестяще подтверждается. Первая половина таблицы характеризуется низким эфирным давлением и притоком электронов, которые и определяют избыточность отрицательных зарядов. Во второй половине находятся кислые аминокислоты, обусловленные изгнанием электронов из среды и проявлением окислительных процессов.

5. Смысл гексаграммного порядка Вэнь-Вана из Книги Перемен (И-Цзин)

На тему гексаграмм Книги Перемен написаны тысячи тонн литературы с весьма сомнительной практической пользой. Наши же исследования дают основания утверждать, что порядок Вэнь-Вана описывает переходные процессы в замкнутой системе, состоящей из набора 64 типов осцилляторов, представленных гексаграммами Фу-Си.

Номер гексаграммы в порядке Вэнь-Вана указывает на самый активный осциллятор системы в определенный момент времени, т.е. порядок Вэнь-Вана – это шкала времени некоторого физического процесса - смены активности осцилляторов системы, где каждый осциллятор взаимодействует со всеми остальными в части поглощения и излучения энергии колебаний.

Следовательно, в порядке Вэнь-Вана должен просматриваться определенный закон активизации триплетов таким образом, что бы максимально сохранялся потенциал взаимодействия, т.е. должно прослеживаться чередование триплетов с высокими и низкими частотами, которые, собственно, и будут стимулировать переток энергии от высокочастотного осциллятора (где давление больше) к низкочастотному (где давление ниже).

Попытаемся рассмотреть порядок Вэнь-Вана именно с точки зрения распределения давления, сопровождающих колебательные процессы триплетов.

Для этого монотонно изменяющуюся последовательность параметров плотности, представленного множеством Фу-Си, целесообразно разделить на две группы относительно среднего (нулевого) значения. В данном случае ноль плотности системы располагается между триплетами АУУ и ГСС. Назначим величину давления каждой гексаграмме относительно этого репера таким образом, что поле положительных значений займет область от 1 до 32, а поле отрицательных значений от -1 до -32, как это показано черными цифрами на Рис. 8 ниже. Красные же цифры нумеруют гексаграммы в порядке Вэнь-Вана (Книги Перемен).

Получилась следующая таблица:

Верх → Низ ↓	☰	☱	☲	☳	☴	☵	☶	☷
☰	CCC ☰ 32 ☷ 1	CCA ☱ 31 ☷ 43	CCG ☲ 30 ☷ 14	CCU ☳ 29 ☷ 34	CAC ☴ 28 ☷ 9	CAA ☵ 27 ☷ 5	CAG ☶ 26 ☷ 26	CAU ☷ 25 ☷ 11
☱	CGC ☰ 24 ☷ 10	CGA ☱ 23 ☷ 58	CGG ☲ 22 ☷ 38	CGU ☳ 21 ☷ 54	CUC ☴ 20 ☷ 61	CUA ☵ 19 ☷ 60	CUG ☶ 18 ☷ 41	CUU ☷ 17 ☷ 19
☲	ACC ☰ 16 ☷ 13	ACA ☱ 15 ☷ 49	ACG ☲ 14 ☷ 30	ACU ☳ 13 ☷ 55	AAC ☴ 12 ☷ 37	AAA ☵ 11 ☷ 63	AAG ☶ 10 ☷ 22	AAU ☷ 9 ☷ 36
☳	AGC ☰ 8 ☷ 25	AGA ☱ 7 ☷ 17	AGG ☲ 6 ☷ 21	AGU ☳ 5 ☷ 51	AUC ☴ 4 ☷ 42	AUA ☵ 3 ☷ 3	AUG ☶ 2 ☷ 27	AUU ☷ 1 ☷ 24
☴	GCC ☰ -1 ☷ 44	GCA ☱ -2 ☷ 28	GCG ☲ -3 ☷ 50	GCU ☳ -4 ☷ 32	GAC ☴ -5 ☷ 57	GAA ☵ -6 ☷ 48	GAG ☶ -7 ☷ 18	GAU ☷ -8 ☷ 46
☵	GGC ☰ -9 ☷ 6	GGA ☱ -10 ☷ 47	GGG ☲ -11 ☷ 64	GGU ☳ -12 ☷ 40	GUC ☴ -13 ☷ 59	GUA ☵ -14 ☷ 29	GUG ☶ -15 ☷ 4	GUU ☷ -16 ☷ 7
☶	UCC ☰ -17 ☷ 33	UCA ☱ -18 ☷ 31	UCG ☲ -19 ☷ 56	UCU ☳ -20 ☷ 62	UAC ☴ -21 ☷ 53	UAA ☵ -22 ☷ 39	UAG ☶ -23 ☷ 52	UAU ☷ -24 ☷ 15
☷	UGC ☰ -25 ☷ 12	UGA ☱ -26 ☷ 45	UGG ☲ -27 ☷ 35	UGU ☳ -28 ☷ 16	UUC ☴ -29 ☷ 20	UUA ☵ -30 ☷ 8	UUG ☶ -31 ☷ 23	UUU ☷ -32 ☷ 2

Рис. 8

На Рис. 8 показаны начальные точки отсчета плотностей (между триплетом AUU и GCC находится ноль системы).

Построим таблицу соответствий порядка гексаграмм Вэнь-Вана относительно нуля системы на Рис. 8

Как давно было отмечено исследователями И-Цзин, гексаграммы в порядке Вэнь-Вана спарены по признаку четности и нечетности.

Таким образом, мы будем иметь две последовательности. Противопоставим их друг другу по правилу Инь-Ян, как это постулируется канонами древнекитайской философии:

NN	Название гексаграммы	Номер нечетной (Ян) гексаграммы	Давление (Ян)	Давление (Инь)	Номер четной (Инь) гексаграммы	Название гексаграммы	Уровни взаимной компенсации
1	Творчество	1	32	-32	2	Исполнение	0
2	Начальная трудность	3	3	-15	4	Недоразвитость	-12
3	Необходимость ждать	5	27	-9	6	Суд	18
4	Войско	7	-16	-30	8	Приближение	-46
5	Воспитание малым	9	28	24	10	Наступление	52
6	Расцвет	11	25	-25	12	Упадок	0
7	Единомышленники	13	16	30	14	Обладание великим	46
8	Смирение	15	-24	-28	16	Вольность	-52
9	Последование	17	7	-7	18	Исправление	0
10	Посещение	19	17	-29	20	Созерцание	-12
11	Стиснутые зубы	21	6	10	22	Убранство	16
12	Разрушение	23	-31	1	24	Возврат	-30
13	Непорочность	25	8	26	26	Воспитание великим	34
14	Питание	27	2	-2	28	Переразвитие великого	0
15	Повторная опасность	29	-14	14	30	Сияние	0
16	Взаимодействие	31	-18	-4	32	Постоянство	-22
17	Бегство	33	-17	29	34	Мощь великого	12
18	Восход	35	-27	9	36	Поражение света	-18
19	Домашние	37	12	22	38	Разлад	34
20	Препятствие	39	-22	-12	40	Разрешение	-34
21	Убыль	41	18	4	42	Приумножение	22
22	Выход	43	31	-1	44	Перечение	30
23	Воссоединение	45	-26	-8	46	Подъем	-34
24	Истощение	47	-10	-6	48	Колодец	-16
25	Смена	49	15	-3	50	Жертвенник	12
26	Возбуждение	51	5	-23	52	Сосредоточенность	-18
27	Течение	53	-21	21	54	Невеста	0
28	Изобилие	55	13	-19	56	Странствие	-6
29	Проникновение	57	-5	23	58	Радость	18
30	Раздробление	59	-13	19	60	Ограничение	6
31	Внутренняя правда	61	20	-20	62	Переразвитие малого	0
32	Уже конец	63	11	-11	64	Еще не конец	0
1	Творчество	1	32	-32	2	Исполнение	0
2	Начальная трудность	3	3	-15	4	Недоразвитость	-12
3	Необходимость ждать	5	27	-9	6	Суд	18

Рис. 9

В столбце «Уровни взаимной компенсации» на Рис. 9 показан результат суммирования между плотностями давления спаренных гексаграмм порядка Вэнь-Вана. Как видно, 8 пар гексаграмм получили полную мгновенную взаимную компенсацию (нули в желтых клетках). Это является признаком их полной независимости от остальных осцилляторов системы. Другие осцилляторы системы имеют полную компенсацию только на уровне одновременного взаимодействия 4 осцилляторов и справа от таблицы показаны связи такой компенсации.

Связь с самым большим разносом во времени представлена гексаграммами 21 (Стиснутые зубы), 22 (Убранство), 47 (Истощение) и 48 (Колодец) и все из них сами по себе в трактовке Книги перемен несут негативный оттенок. Это самая нестойчивая связь взаимной компенсации и перенос энергии взаимодействия между связанными с этими гексаграммами триплетами (AAG, AGG, GAA и GGA) может быть легко нарушена. Это неудивительно, поскольку эти две пары имеют активность вблизи нулевой линии, где концентрируются все помехи окружающей среды.

Таким образом, порядок Вэнь-Вана наглядно показывает функциональную замкнутость системы осцилляторов, где процессы излучения и поглощения энергий между осцилляторами идеально сбалансированы внутри цикла возбуждения.

6. Примечательные свойства Инь и Ян систем порядка Вэнь-Вана

Рассмотрим график изменений давления для Инь (четной) и Ян (нечетной) систем гексаграмм:



Рис. 10

Какие замечательные вещи мы видим?

- Супер резонанс системы и максимальное проявление активности четырех главных стихий: Древа (триплет CCC), Огня (триплет AAA), Металла (триплет GGG), Воды (триплет UUU). При этом взаимная компенсация AAA и GGG формирует основной (щелочной) базис системы, а CCC и UUU – кислотный. Это означает, что между 64 и 1 гексаграммами происходит максимальное взаимодействие между кислотными и основными паттернами системы.
- В середине последовательности активации осцилляторов находится спокойное окно, где не происходит резкого изменения полярности частот (давления) как Янской, так и Иньской последовательности. Получается, что это единственное время, когда ДНК имеет возможность провести успешную репликацию без риска получить повреждения от резкого изменения параметров окружающей среды.

7. Физический процесс порядка Вэнь-Вана

Суммируем графики Инь и Ян последовательности на Рис. 10 и сгладим его:

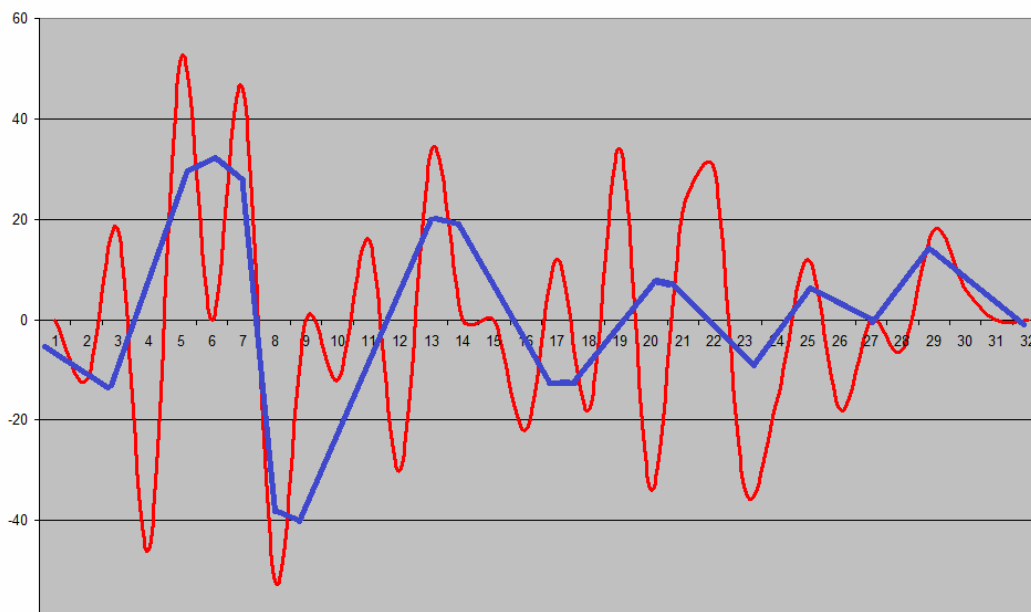


Рис. 11

Сглаженная синяя линия имеет сходство с теоретической формой пульсовой волны, которая применяется в пульсовом метаболическом анализе уже два десятка лет (Рис. 2):

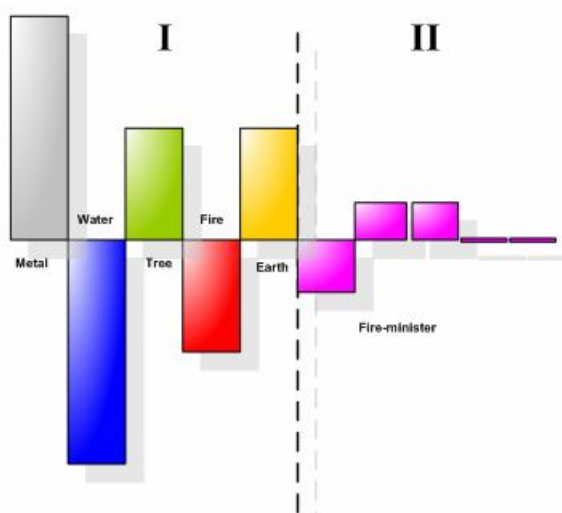


Рис. 12

8. Дополнительное подтверждение верности схемы суточной циркуляции на Рис. 2 в разрезе триплетов ДНК.

Нам в руки попали методические рекомендации (3) Санкт-Петербургского института биорегуляции и геронтологии СЗО РАМН. В данной методичке приводится аминокислотный состав препаратов, разработанных коллективом Института. Сравним состав препаратов и определим, имеют ли указанные аминокислоты какое-либо отношение к органам и системам, которые предъявляются для целей коррекции в организме.

Примечательно, что каждый препарат содержит в себе Глутаминовую кислоту (GAA, GAG) и Аспарагиновую кислоту (GAG, GAU).

Выше на Рис. 7 мы показали, что данные аминокислоты логично обладают кислотными свойствами, в результате чего любая другая аминокислота может образовывать с вышеупомянутыми аминокислотами стойкие конъюгаты, что технически позволяет использовать их как носители.

Представим результаты сравнения в виде таблицы:

№№	Название, назначение препарата и аминокислотный состав	Интерпретация свойств препаратов согласно качеств триплетов ДНК в таблице на Рис. 2
1	Везуген (повышение функциональной активности сосудов). Состав: Лизин, Глутаминовая кислота, Аспарагиновая кислота	Лизин (AAC, AAA, AAG, AAU) - по старшему и среднему основанию это активность меридианов Толстого кишечника и Сердца, которые связаны со стихией Огня; по младшему основанию это активность Мочевых пузыря, Панкреаса, Легких и Трех обогревателей. По местоположению в суточной циркуляции Лизин резонирует в период активности Желчного пузыря (с 23.00 до 01.00). В Желчном пузыре Лизин стимулирует анаболическую фазу, тем самым снимая нагрузку с Сердца (Желчный пузырь входит в одну систему меридианов с Сердцем и стоит в порядке порождения сразу после Сердца). Вывод: Данный препарат способен нормализовать функции Сердца. Однако выбор Гистидина был бы более эффективен, так как он активируется как раз в анаболическую фазу непосредственно Сердца в 19.00-20.00 - высокая эффективность Гистидина для восстановления функции Сердца и сосудистой системы подтверждается исследованиями (4).

Академия Пульса

Комсомольская 25Б, офф. 24, Владивосток, 690002, Россия

www.pulse-academy.org; e-mail: pulseacademy@yahoo.com; Phone +7-911-956-2653

Охраняется авторским правом.

2	<p>Оваген (повышение функциональной активности Печени). Состав: Лейцин, Глутаминовая кислота, Аспарагиновая кислота</p>	<p>Лейцин (CUC, CUA, CUG, CUU) - по старшему и среднему основанию это активность меридианов Перикарда и Желудка с участием Мочевого пузыря, Панкреаса, Легких и Трех обогревателей по младшему основанию. В суточной циркуляции Лейцин активен в период 21.00-23.00 в меридиане Трех обогревателей, а меридиан Трех обогревателей и Печени входят в одну систему меридианов, причем Три обогревателя находятся непосредственно перед Печенью и выполняют функцию порождения по канонам Древнекитайской медицины. Кроме того, Лейцин по среднему и младшему основаниям сходен с Изолейцином (его активность как раз находится в период суточной активности Печени в 01.00--3.00) а первое основание Лейцина (С) в порядке порождения сменяется основанием (А) Изолейцина. Таким образом, Лейцин может способствовать улучшению работы Печени, но Изолейцин работал бы непосредственно и мощнее.</p>
3	<p>Караталакс (повышение функциональной активности Хрящей). Состав: Аланин, Глутаминовая кислота, Аспарагиновая кислота</p>	<p>Аланин (GCC, GCA, GCG, GCU) - по старшему и среднему основанию это активность меридианов Желчного пузыря и Печени с участием Мочевого пузыря, Панкреаса, Легких и Трех обогревателей по младшему основанию. В суточной циркуляции Аланин резонирует в периоды активности меридианов Желудка и Панкреаса, вибрации которых (синий и зеленый цвет) формируют вибрацию стихии Металла (бирюзовый цвет). Металл в древнекитайской медицине в части жидкостей организма отвечает за слизь (муцины - особый подкласс гликопротеинов), которые составляют основу хрящевой ткани. В аминокислотном составе муцинов преобладают пять аминокислот: Аланин, Глицин, Пролин, Треонин и Серин. Вывод: подтверждается влияние препарата на заявленные функции организма, но, по всей видимости, использование всего спектра пяти аминокислот сделало бы препарат более эффективным.</p>
4	<p>Пинеалон (повышение функциональной активности головного мозга). Состав: Аргинин, Глутаминовая кислота, Аспарагиновая кислота</p>	<p>Аргинин (CGC, CGA, CGG, CGU) - по старшему и среднему основанию это активность меридианов Перикарда и Тонкого кишечника с участием Мочевого пузыря, Панкреаса, Легких и Трех обогревателей по младшему основанию. В суточной циркуляции на схеме Рис. 2 Аргинин участвует в катаболической функции Сердца. Также первое и второе основание Аргинина (Перикард - Огонь Министр и Тонкий кишечник- Ян Огня) связаны с кровообращением. В соответствии с канонами древнекитайской медицины "Перикард управляет кровью и хранит ум". Кроме того, исследования западной медицины сообщают об увеличении в крови оксида азота в результате приема Аргенина. Вывод: при приеме данного препарата происходит усиления общего кровообращения с акцентом на сосуды головного мозга, за счет чего улучшается трофика мозговых тканей..</p>

5	Кристаген (нормализация иммунной системы). Состав: Пролин, Глутаминовая кислота, Аспарагиновая кислота	Пролин (ССС, ССА, ССГ, ССУ) - по старшему и среднему основанию это активность меридианов Перикарда и Печени (старшее и среднее основание - оба связаны со стихией Дерева) с участием Мочевого пузыря, Панкреаса, Легких и Трех обогревателей. Пролин в нашей модели на Рис. 2 работает в период активности Почек 18.00-19.00. Почки в китайской медицине связаны с функцией костей, в том числе и с костным мозгом. А костный мозг является органом иммунопоза - т.е. системой, которая производит иммунные клетки. Вывод: препарат отвечает заявленным свойствам
6	Хонлутен (нормализация слизистой оболочки бронхов). Состав: Глицин, Глутаминовая кислота, Аспарагиновая кислота	Лизин (GGC, GGA, GGG, GGU) - по старшему и среднему основанию это активность меридианов Желчного пузыря и Тонкого кишечника с участием Мочевого пузыря, Панкреаса, Легких и Трех обогревателей; Как можно видеть старшее основание Глицина таково же, как и у Аланина, входящего в препарат, активизирующий производство муцинов (слизи). С другой стороны, на схеме Рис. 2 Глицин активизирует катаболические процессы в период активности Легких в период 04.00-05.00. Соответственно, влияние препарата на функции слизи бронхов имеет очевидное основание.

Рис. 13

Таким образом, мы утверждаемся, что Таблица на Рис. 2 составлена верно. Это позволяет осуществлять целенаправленное влияние на органы и системы при помощи аминокислот, воздействовать на соответствующие акупунктурные меридианы в надлежащее время для восстановления нормального динамического равновесия всех колебательных процессов в организме.

И в заключение, рассмотрим найденные соответствия триплетов в разрезе функциональной активности Желудка (Ян система, активность частот (колебаний) синего цвета – стихия Воды, манифестирующая разрушение и смерть) со значением соответствующих триграмм на Рис. 7 в Книге Перемен:

GCG Войско
 GCU Раздробление
 GCU Повторная опасность
 GAC Недоразвитость
 GAC Войско
 GAA Перечень
 GAA Войско
 GAG Перечень
 GAG Переразвитие великого
 GAU Жертвенник

9. Литература.

1. V.A. Karasev et al. (2005) A dodecahedron-based model of spatial representation of the canonical set of amino acids. In: *Mathematical Biology and Medicine, Vol.8. International Conference. "Advances in Bioinformatics and Its Applications"*, World Scientific Publ. Co., 482-493.
2. С.В. Петухов, «Матричная генетика, алгебры генетического кода, помехоустойчивость», издательство «Регулярная и хаотическая динамика», 2008 год, ISBN 978-5-93972-643-6.
3. В.Г. Морозов, Г.А. Рыжак, В.В. Малинин, Е.И. Григорьев, В.Н. Рутковская «Цитогены. Биологически активные добавки к пище. Методические рекомендации», ООО «Издательско-полиграфическая компания «Коста»», г. Санкт-Петербург, 2011.
4. Sharlene M Day, Margaret V Westfall, Ekaterina V Fomicheva, Kirsten Hoyer, Soichiro Yasuda, Nathan C La Cross, Louis G D'Alecy, Joanne S Ingwall & Joseph M Metzger «Histidine button engineered into cardiac troponin I protects the ischemic and failing heart», *Nature Medicine* 12, 181 - 189 (2006), Published online: 22 January 2006 | doi:10.1038/nm1346